

# Ricognizione c05948cb2e6a4b80a36fd0eb1ff526f9

## Unità di ricognizione UR 0 - Data 2021/11/05

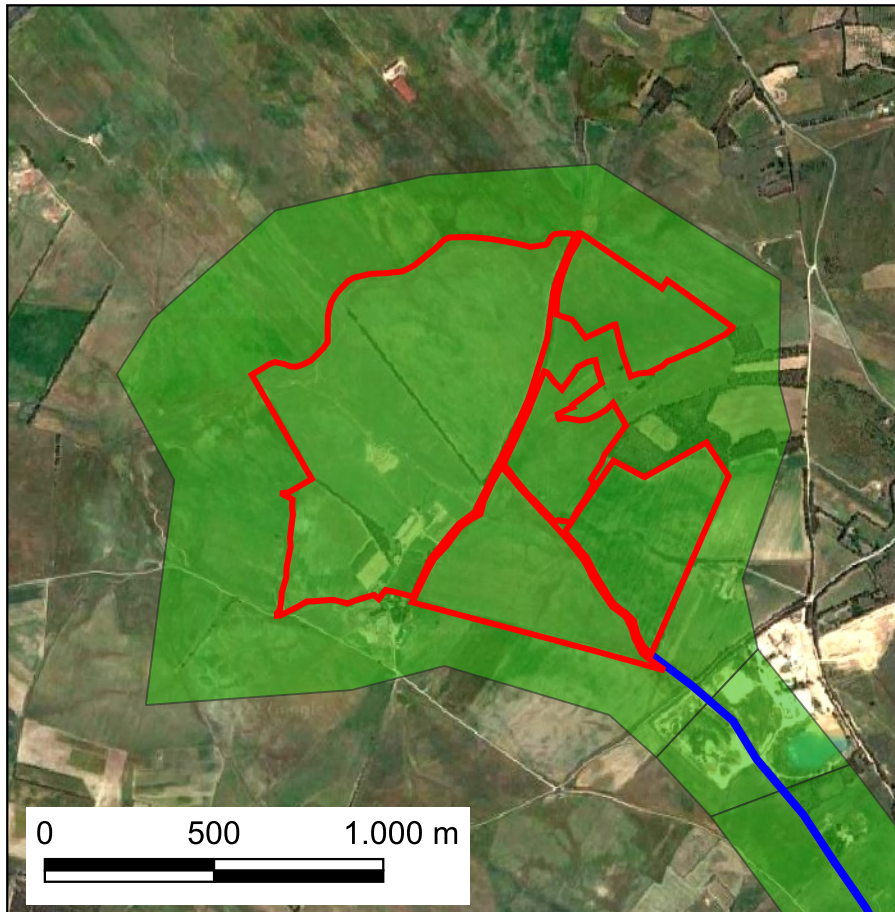
**Visibilità del suolo:** 5

**Copertura del suolo:** superficie agricola utilizzata - Questa riguarda diversi campi destinati ad erbaio e pascolo in prossimità dei quali insiste qualche azienda agricola. L'analisi delle immagini satellitari e la fotointerpretazione non hanno evidenziato alcuna anomalia riconducibile ad emergenze di tipo archeologico. Il sopralluogo archeologico ha dato conferma dell'assenza in superficie di emergenze archeologiche e di testimonianze di cultura materiale antica.

**Sintesi geomorfologica:** Depositi alluvionali terrazzati a matrice Ghiaioso-sabbiosa e sabbioso-limose. Il grado di addensamento di questi depositi è medio nei primi 0.5 metri, più elevato in profondità.

**Dati catastali:** F. CTR - part. 528-040 - COORDINATE UTM 39.96856, 8.65870 - La UR 0 è stata individuata all'interno del perimetro che racchiude l'area sulla quale insisterà l'impianto e per una fascia d'intorno di larghezza di circa m 100.

La UR 0 è stata individuata all'interno del perimetro che racchiude l'area sulla quale insisterà l'impianto e per una fascia d'intorno di larghezza di circa m 100.



**UR 0**



# Ricognizione c05948cb2e6a4b80a36fd0eb1ff526f9

## Unità di ricognizione UR 1 - Data 2021/11/05

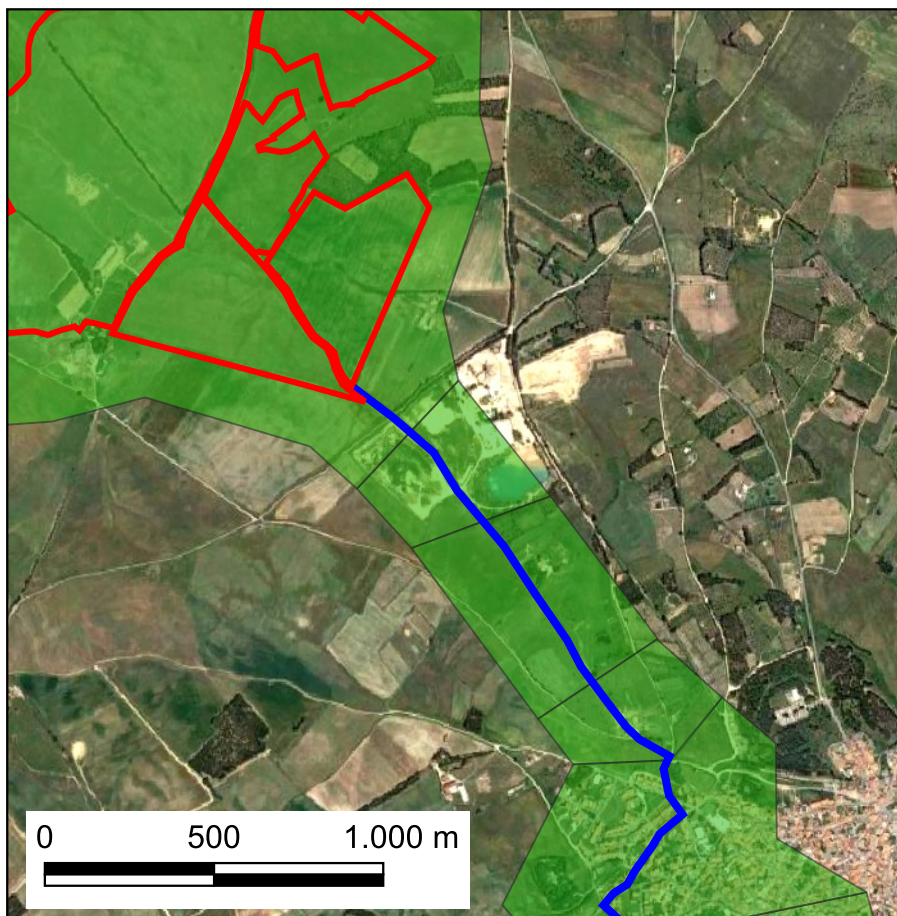
Visibilità del suolo: 5

**Copertura del suolo:** superficie agricola utilizzata - Questa attraversa diversi campi destinati ad erbaio e pascolo in qualcuno dei quali insiste qualche azienda agricola. L'analisi delle immagini satellitari e la fotointerpretazione non hanno evidenziato alcuna anomalia riconducibile ad emergenze di tipo archeologico. Il sopralluogo archeologico ha dato conferma dell'assenza in superficie di emergenze archeologiche e di testimonianze di cultura materiale antica.

**Sintesi geomorfologica:** Depositi alluvionali terrazzati a matrice Ghiaioso-sabbiosa e sabbioso-limose. Il grado di addensamento di questi depositi è medio nei primi 0.5 metri, più elevato in profondità.

**Dati catastali:** F. CTR - part. 528-040 - COORDINATE UTM 39.96698, 8.65700 - La UR 1 è stata individuata tra il km 0 e il km 0,500 del percorso della linea di connessione, lungo la strada vicinale Matza Serra di collegamento alla via Tirso (Solarussa).

La UR 1 è stata individuata tra il km 0 e il km 0,500 del percorso della linea di connessione, lungo la strada vicinale Matza Serra di collegamento alla via Tirso (Solarussa).



UR 1



# Ricognizione c05948cb2e6a4b80a36fd0eb1ff526f9

## Unità di ricognizione UR 2 - Data 2021/11/05

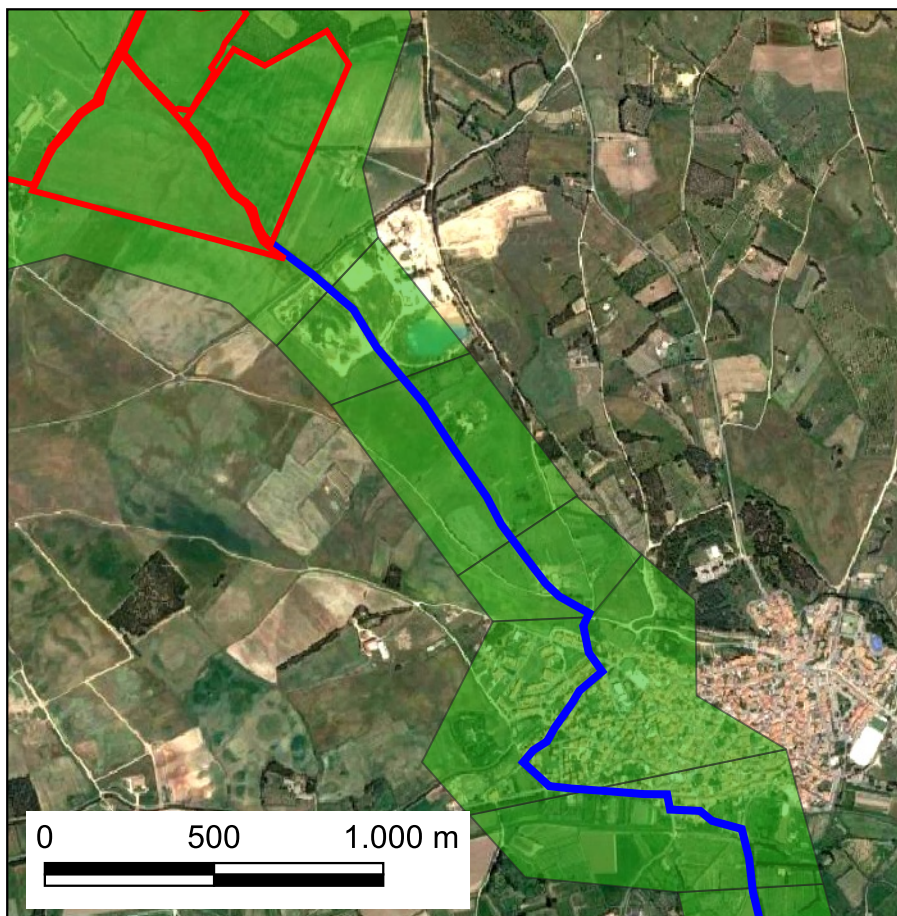
**Visibilità del suolo: 5**

**Copertura del suolo:** superficie agricola utilizzata - Questa attraversa diversi campi destinati ad erbaio e pascolo in qualcuno dei quali insiste qualche azienda agricola. L'analisi delle immagini satellitari e la fotointerpretazione non hanno evidenziato alcuna anomalia riconducibile ad emergenze di tipo archeologico. Il sopralluogo archeologico ha dato conferma dell'assenza in superficie di emergenze archeologiche e di testimonianze di cultura materiale antica.

**Sintesi geomorfologica:** Depositi alluvionali terrazzati a matrice Ghiaioso-sabbiosa e sabbioso-limose. Il grado di addensamento di questi depositi è medio nei primi 0.5 metri, più elevato in profondità.

**Dati catastali:** F. CTR - part. 528-040 - COORDINATE UTM 39.96184, 8.66308 - La UR 2 è stata individuata tra il km 0,500 e il km 1,000 del percorso della linea di connessione, lungo la strada vicinale Matza Serra di collegamento alla via Tirso (Solarussa).

La UR 2 è stata individuata tra il km 0,500 e il km 1,000 del percorso della linea di connessione, lungo la strada vicinale Matza Serra di collegamento alla via Tirso (Solarussa).



UR 2



# Ricognizione c05948cb2e6a4b80a36fd0eb1ff526f9

## Unità di ricognizione UR 3 - Data 2021/11/05

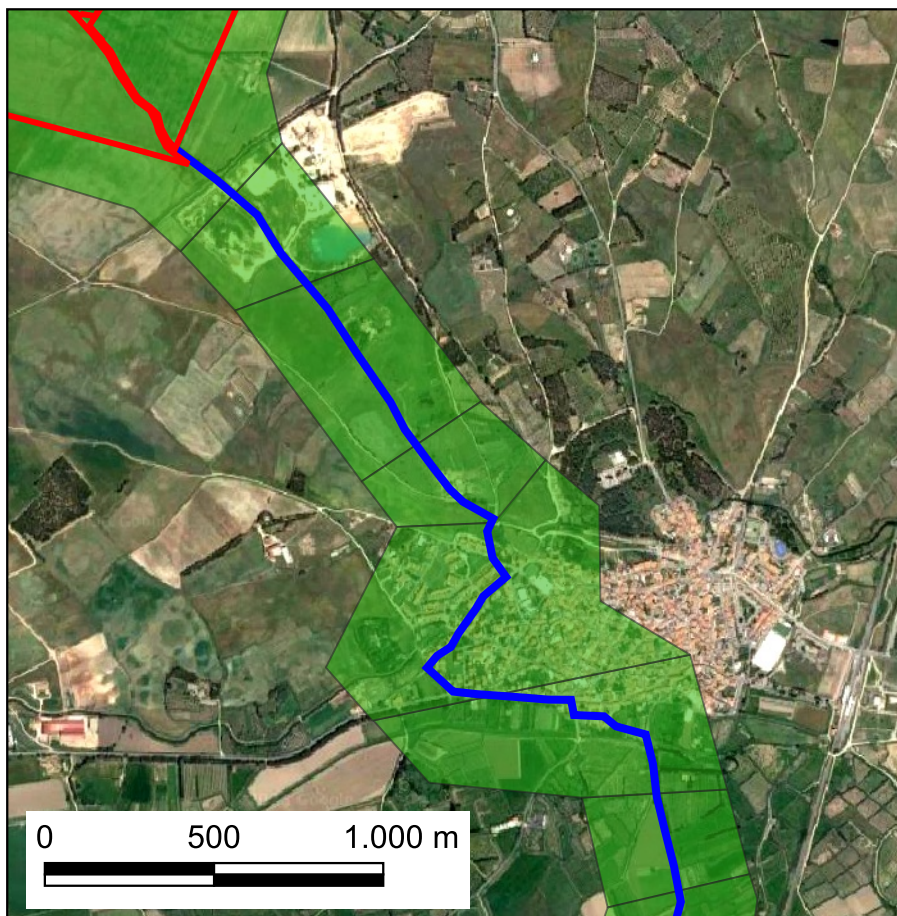
Visibilità del suolo: 5

**Copertura del suolo:** superficie agricola utilizzata - ). Questa attraversa diversi campi destinati ad erbaio e pascolo nei quali insiste qualche azienda agricola. L'analisi delle immagini satellitari e la fotointerpretazione non hanno evidenziato alcuna anomalia riconducibile ad emergenze di tipo archeologico. Il sopralluogo archeologico ha dato conferma dell'assenza in superficie di emergenze archeologiche e di testimonianze di cultura materiale antica.

**Sintesi geomorfologica:** Depositi alluvionali terrazzati a matrice Ghiaioso-sabbiosa e sabbioso-limose. Il grado di addensamento di questi depositi è medio nei primi 0.5 metri, più elevato in profondità.

**Dati catastali:** F. CTR - part. 528-040, 529-010 - COORDINATE UTM 39.95916, 8.66563 - La UR 3 è stata individuata tra il km 1,000 e il km 1,520 del percorso della linea di connessione, lungo la strada vicinale Matza Serra di collegamento alla via Tirso (Solarussa).

La UR 3 è stata individuata tra il km 1,000 e il km 1,520 del percorso della linea di connessione, lungo la strada vicinale Matza Serra di collegamento alla via Tirso (Solarussa).



UR 3



# Ricognizione c05948cb2e6a4b80a36fd0eb1ff526f9

## Unità di ricognizione UR 4 - Data 2021/11/05

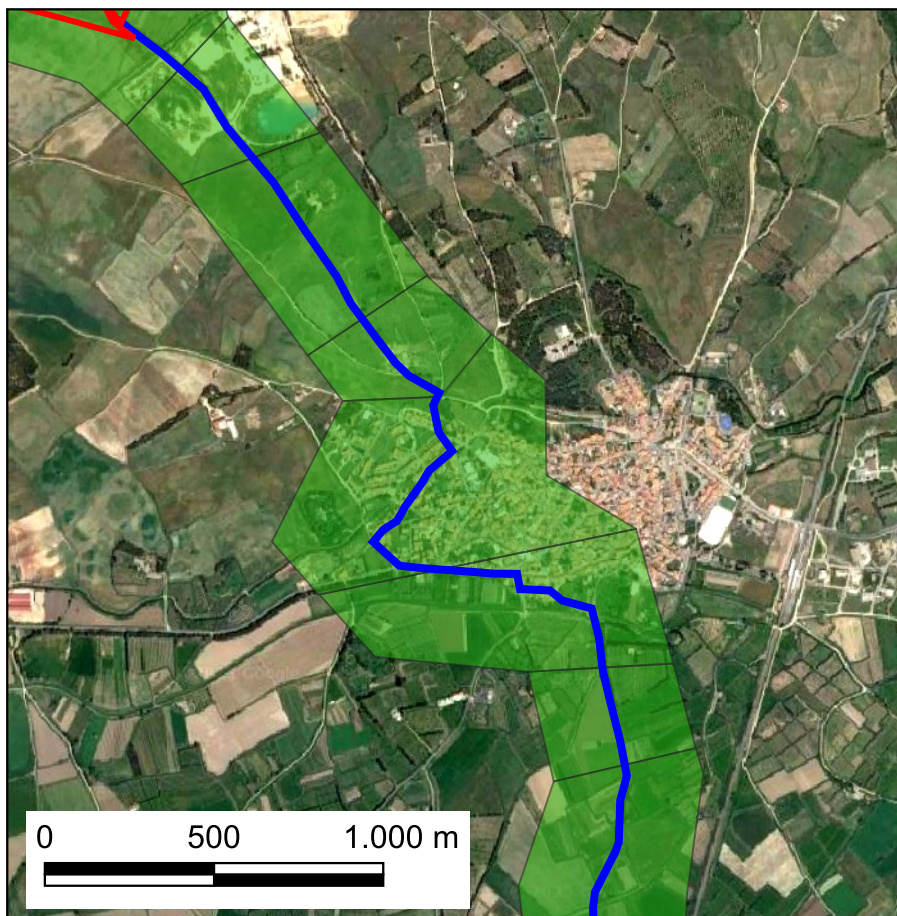
### Visibilità del suolo: 2

**Copertura del suolo:** superficie artificiale - Questa attraversa la periferia nord est del centro abitato di Solarussa e si trova all'esterno del centro di antica formazione. L'analisi delle immagini satellitari e la fotointerpretazione non hanno evidenziato alcuna anomalia riconducibile ad emergenze di tipo archeologico. Il sopralluogo archeologico ha ovviamente dato conferma dell'assenza in superficie di emergenze archeologiche e di testimonianze di cultura materiale antica.

**Sintesi geomorfologica:** Centro abitato - Depositi alluvionali terrazzati a matrice Ghiaioso-sabbiosa e sabbioso-limose. Il grado di addensamento di questi depositi è medio nei primi 0.5 metri, più elevato in profondità.

**Dati catastali:** F. CTR - part. 529-010 - COORDINATE UTM 39.95514, 8.66724 - La UR 4 è stata individuata tra il km 1,520 e il km 2,000 del percorso della linea di connessione, lungo la via Tirso (Solarussa) fino alla via Marche; dalla via Marche lungo la via Tharros.

La UR 4 è stata individuata tra il km 1,520 e il km 2,000 del percorso della linea di connessione, lungo la via Tirso (Solarussa) fino alla via Marche; dalla via Marche lungo la via Tharros.



UR 4



# Ricognizione c05948cb2e6a4b80a36fd0eb1ff526f9

## Unità di ricognizione UR 5 - Data 2021/11/05

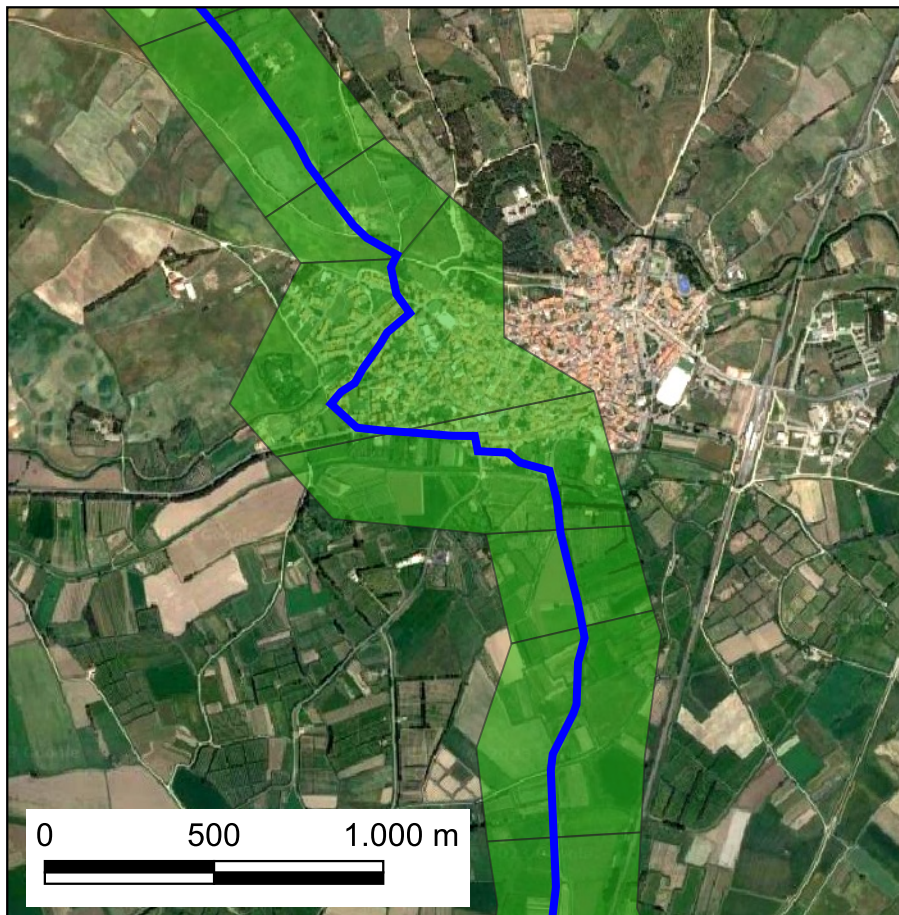
### Visibilità del suolo: 2

**Copertura del suolo:** superficie artificiale - Questa attraversa la periferia sud – sud est del centro abitato di Solarussa e si trova all'esterno del centro di antica formazione. L'analisi delle immagini satellitari e la fotointerpretazione non hanno ovviamente evidenziato alcuna anomalia riconducibile ad emergenze di tipo archeologico. Il sopralluogo archeologico ha ovviamente dato conferma dell'assenza in superficie di emergenze archeologiche e di testimonianze di cultura materiale antica.

**Sintesi geomorfologica:** Centro abitato - Depositi alluvionali terrazzati a matrice Ghiaioso-sabbiosa e sabbioso-limose. Il grado di addensamento di questi depositi è medio nei primi 0.5 metri, più elevato in profondità.

**Dati catastali:** F. CTR - part. 528-040, 529-010 - COORDINATE UTM 39.95265, 8.67007 - La UR 5 è stata individuata tra il km 2,000 e il km 2,726 del percorso della linea di connessione, lungo l'ultimo tratto della via Tharros fino alla SP 9, per un breve tratto fino alla via Satta, che si percorre fino ad arrivare alla SP 15.

La UR 5 è stata individuata tra il km 2,000 e il km 2,726 del percorso della linea di connessione, lungo l'ultimo tratto della via Tharros fino alla SP 9, per un breve tratto fino alla via Satta, che si percorre fino ad arrivare alla SP 15.



UR 5



# Ricognizione c05948cb2e6a4b80a36fd0eb1ff526f9

## Unità di ricognizione UR 6 - Data 2021/11/05

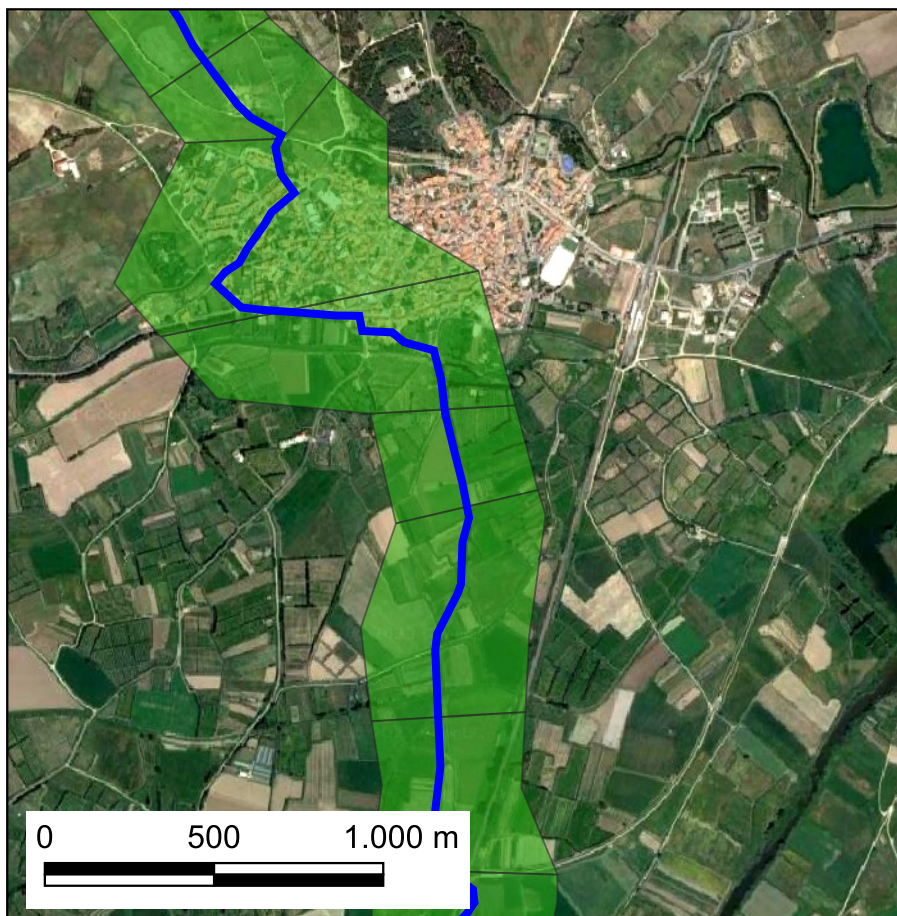
**Visibilità del suolo:** 5

**Copertura del suolo:** superficie agricola utilizzata - Questa attraversa diversi campi destinati ad erbaio e pascolo ed altre aree su cui insistono costruzioni ad uso abitativo e qualche azienda agricola. L'analisi delle immagini satellitari e la fotointerpretazione non hanno evidenziato alcuna anomalia riconducibile ad emergenze di tipo archeologico. Il sopralluogo archeologico ha dato conferma dell'assenza in superficie di emergenze archeologiche e di testimonianze di cultura materiale antica.

**Sintesi geomorfologica:** Depositi alluvionali terrazzati a matrice Ghiaioso-sabbiosa e sabbioso-limose. Il grado di addensamento di questi depositi è medio nei primi 0.5 metri, più elevato in profondità.

**Dati catastali:** F. CTR - part. 529-010 - COORDINATE UTM 39.94933, 8.67363 - La UR 6 è stata individuata tra il km 2,726 e il km 3,232 del percorso della linea di connessione lungo la strada provinciale 15.

La UR 6 è stata individuata tra il km 2,726 e il km 3,232 del percorso della linea di connessione lungo la strada provinciale 15.



UR 6



# Ricognizione c05948cb2e6a4b80a36fd0eb1ff526f9

## Unità di ricognizione UR 7 - Data 2021/11/05

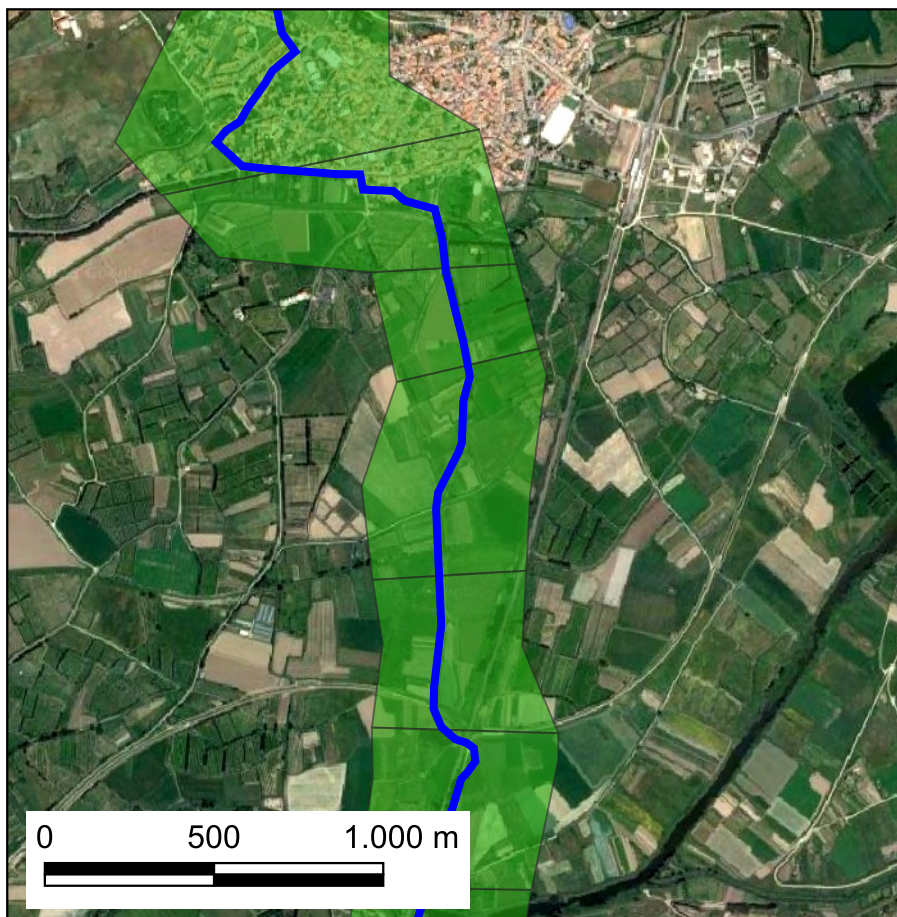
**Visibilità del suolo: 5**

**Copertura del suolo:** superficie agricola utilizzata - Questa riguarda diversi campi destinati ad erbaio e pascolo ed altre aree su cui insistono costruzioni ad uso abitativo e qualche azienda agricola. L'analisi delle immagini satellitari e la fotointerpretazione non hanno evidenziato alcuna anomalia riconducibile ad emergenze di tipo archeologico. Il sopralluogo archeologico ha dato conferma dell'assenza in superficie di emergenze archeologiche e di testimonianze di cultura materiale antica.

**Sintesi geomorfologica:** Depositi alluvionali terrazzati a matrice Ghiaioso-sabbiosa e sabbioso-limose. Il grado di addensamento di questi depositi è medio nei primi 0.5 metri, più elevato in profondità.

**Dati catastali:** F. CTR - part. 528-050 - COORDINATE UTM 39.94468, 8.67382 - La UR 7 è stata individuata tra il km 3,232 e il km 3,732 del percorso della linea di connessione, lungo la strada provinciale 15.

La UR 7 è stata individuata tra il km 3,232 e il km 3,732 del percorso della linea di connessione, lungo la strada provinciale 15.



UR 7





# Ricognizione c05948cb2e6a4b80a36fd0eb1ff526f9

## Unità di ricognizione UR 8 - Data 2021/11/05

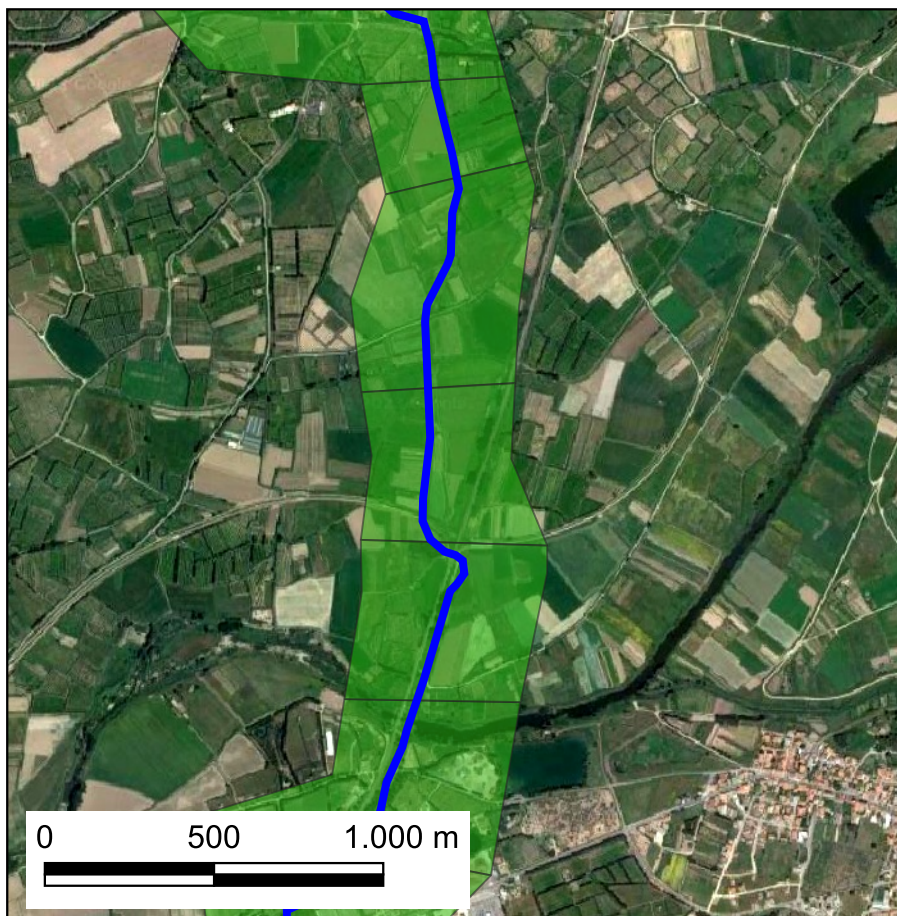
**Visibilità del suolo: 5**

**Copertura del suolo:** superficie agricola utilizzata - Questa riguarda diversi campi destinati ad erbaio e pascolo ed altre aree su cui insiste qualche azienda agricola. L'analisi delle immagini satellitari e la fotointerpretazione non hanno evidenziato alcuna anomalia riconducibile ad emergenze di tipo archeologico. Il sopralluogo archeologico ha dato conferma dell'assenza in superficie di emergenze archeologiche e di testimonianze di cultura materiale antica.

**Sintesi geomorfologica:** Depositi alluvionali terrazzati a matrice Ghiaioso-sabbiosa e sabbioso-limose. Il grado di addensamento di questi depositi è medio nei primi 0.5 metri, più elevato in profondità.

**Dati catastali:** F. CTR - part. 528-050 - COORDINATE UTM 39.94103, 8.67342 - La UR 8 è stata individuata tra il km 3,732 e il km 4,232 del percorso della linea di connessione, lungo la strada provinciale 15.

La UR 8 è stata individuata tra il km 3,732 e il km 4,232 del percorso della linea di connessione, lungo la strada provinciale 15.



UR 8



# Ricognizione c05948cb2e6a4b80a36fd0eb1ff526f9

## Unità di ricognizione UR 9 - Data 2021/11/05

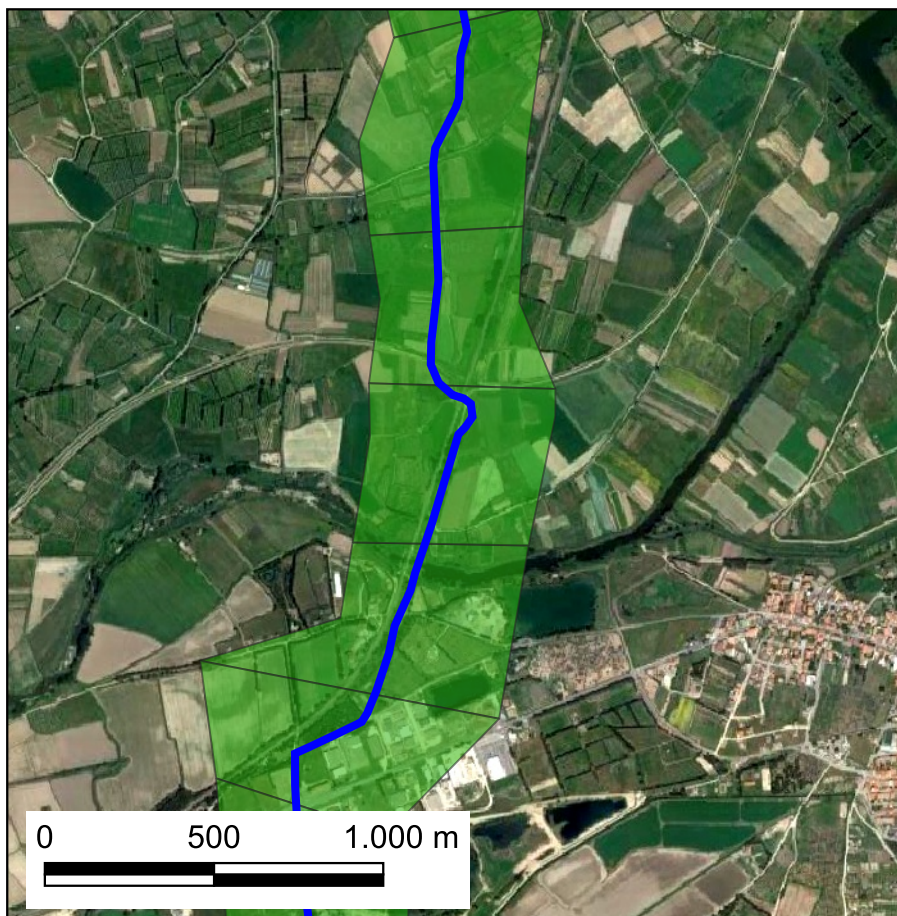
Visibilità del suolo: 5

**Copertura del suolo:** superficie agricola utilizzata - Questa riguarda diversi campi destinati ad erbaio e pascolo ed altre aree su cui insiste qualche azienda agricola. L'analisi delle immagini satellitari e la fotointerpretazione non hanno evidenziato alcuna anomalia riconducibile ad emergenze di tipo archeologico. Il sopralluogo archeologico ha dato conferma dell'assenza in superficie di emergenze archeologiche e di testimonianze di cultura materiale antica.

**Sintesi geomorfologica:** Depositi alluvionali terrazzati a matrice Ghiaioso-sabbiosa e sabbioso-limose. Il grado di addensamento di questi depositi è medio nei primi 0.5 metri, più elevato in profondità.

**Dati catastali:** F. CTR - part. 528-050 - COORDINATE UTM 39.93651, 8.67400 - La UR 9 è stata individuata tra il km 4,232 e il km 4,732 del percorso della linea di connessione, lungo la strada provinciale 15.

La UR 9 è stata individuata tra il km 4,232 e il km 4,732 del percorso della linea di connessione, lungo la strada provinciale 15.



UR 9



# Ricognizione c05948cb2e6a4b80a36fd0eb1ff526f9

## Unità di ricognizione UR 10 - Data 2021/11/05

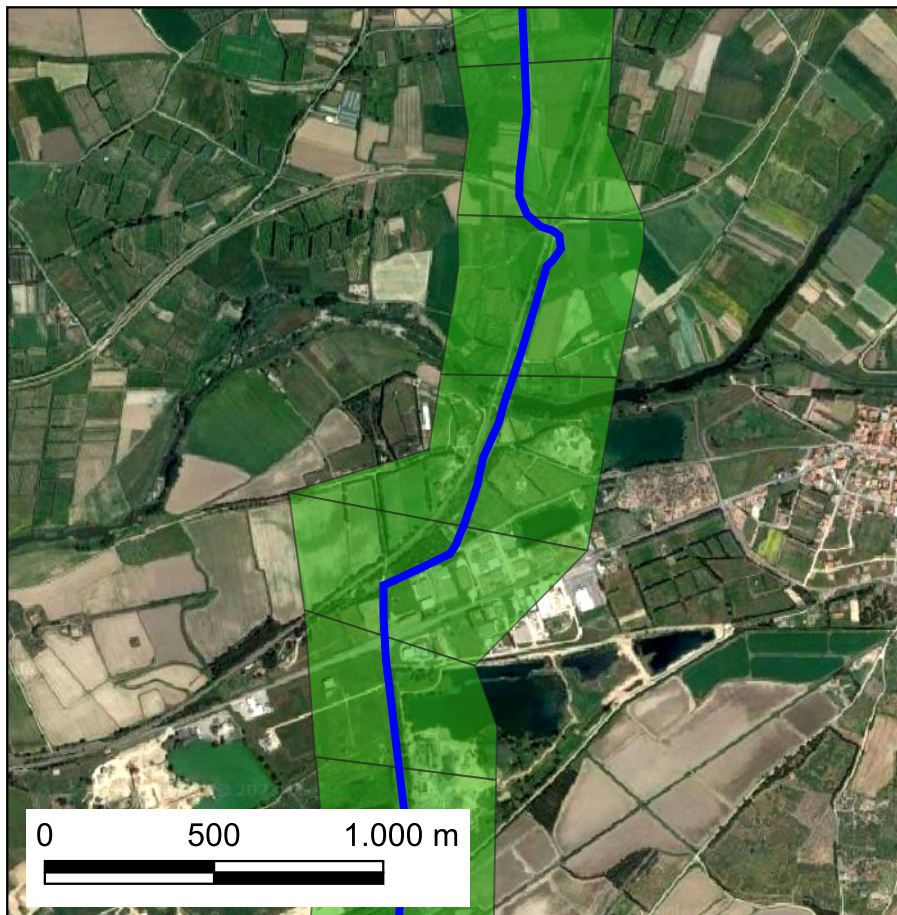
Visibilità del suolo: 5

**Copertura del suolo:** superficie agricola utilizzata - Questa riguarda diversi campi destinati ad erbaio e pascolo ed altre aree su cui insistono costruzioni ad uso artigianale, abitativo ed agricolo. L'analisi delle immagini satellitari e la fotointerpretazione non hanno evidenziato alcuna anomalia riconducibile ad emergenze di tipo archeologico. Il sopralluogo archeologico ha dato conferma dell'assenza in superficie di emergenze archeologiche e di testimonianze di cultura materiale antica.

**Sintesi geomorfologica:** Depositi alluvionali terrazzati a matrice Ghiaioso-sabbiosa e sabbioso-limose. Il grado di addensamento di questi depositi è medio nei primi 0.5 metri, più elevato in profondità.

**Dati catastali:** F. CTR - part. 528-050 - COORDINATE UTM 39.93233, 8.67238 - La UR 10 è stata individuata tra il km 4,732 e il km 5,232 del percorso della linea di connessione, lungo la strada provinciale 15.

La UR 10 è stata individuata tra il km 4,732 e il km 5,232 del percorso della linea di connessione, lungo la strada provinciale 15.



UR 10



# Ricognizione c05948cb2e6a4b80a36fd0eb1ff526f9

## Unità di ricognizione UR 11 - Data 2021/11/05

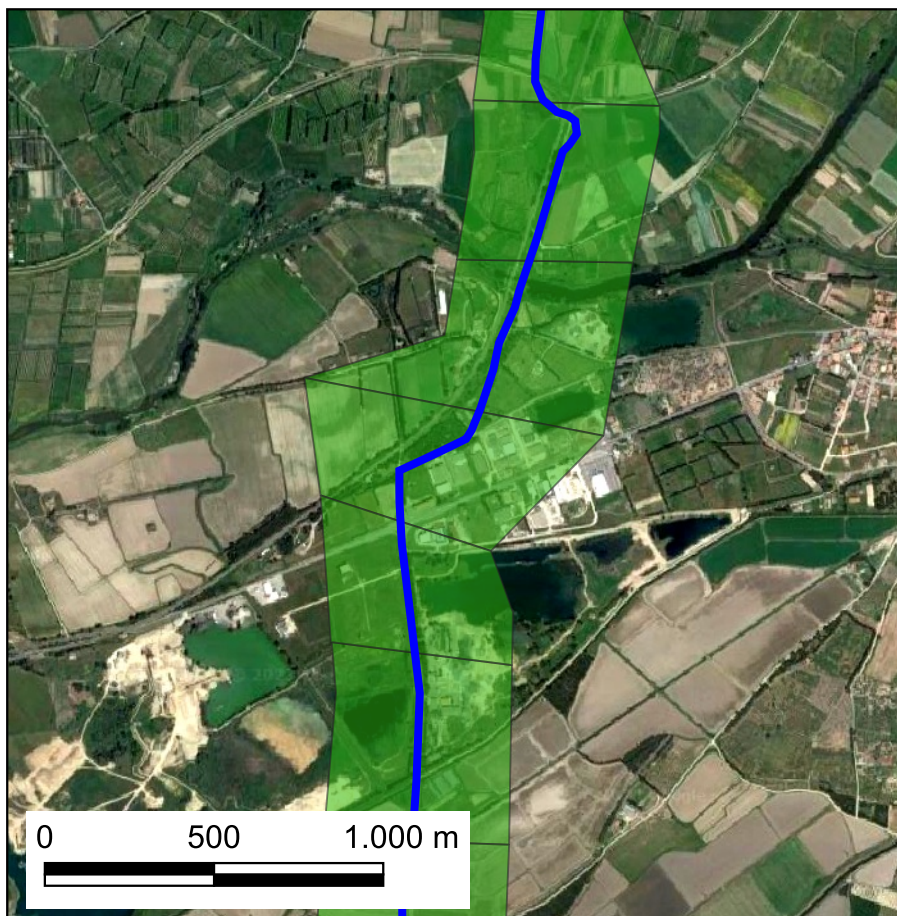
Visibilità del suolo: 4

**Copertura del suolo:** superficie artificiale - Questa riguarda la parte nord della Zona industriale di Simaxis, diversi campi destinati ad erbaio e pascolo ed altre aree su cui insistono costruzioni ad uso abitativo ed agricolo. L'analisi delle immagini satellitari e la fotointerpretazione non hanno evidenziato alcuna anomalia riconducibile ad emergenze di tipo archeologico. Il sopralluogo archeologico ha dato conferma dell'assenza in superficie di emergenze archeologiche e di testimonianze di cultura materiale antica.

**Sintesi geomorfologica:** Insedimenti produttivi - Centro abitato - Depositi alluvionali terrazzati a matrice Ghiaioso-sabbiosa e sabbioso-limose. Il grado di addensamento di questi depositi è medio nei primi 0.5 metri, più elevato in profondità.

**Dati catastali:** F. CTR - part. 528-050 - COORDINATE UTM 39.92854, 8.66904 - La UR 11 è stata individuata tra il km 5,232 e il km 5,732 del percorso della linea di connessione, lungo la strada provinciale 15 che si conclude al crocevia con la strada statale 388 e l'imbocco della strada provinciale 67.

La UR 11 è stata individuata tra il km 5,232 e il km 5,732 del percorso della linea di connessione, lungo la strada provinciale 15 che si conclude al crocevia con la strada statale 388 e l'imbocco della strada provinciale 67.



UR 11



# Ricognizione c05948cb2e6a4b80a36fd0eb1ff526f9

## Unità di ricognizione UR 12 - Data 2021/11/05

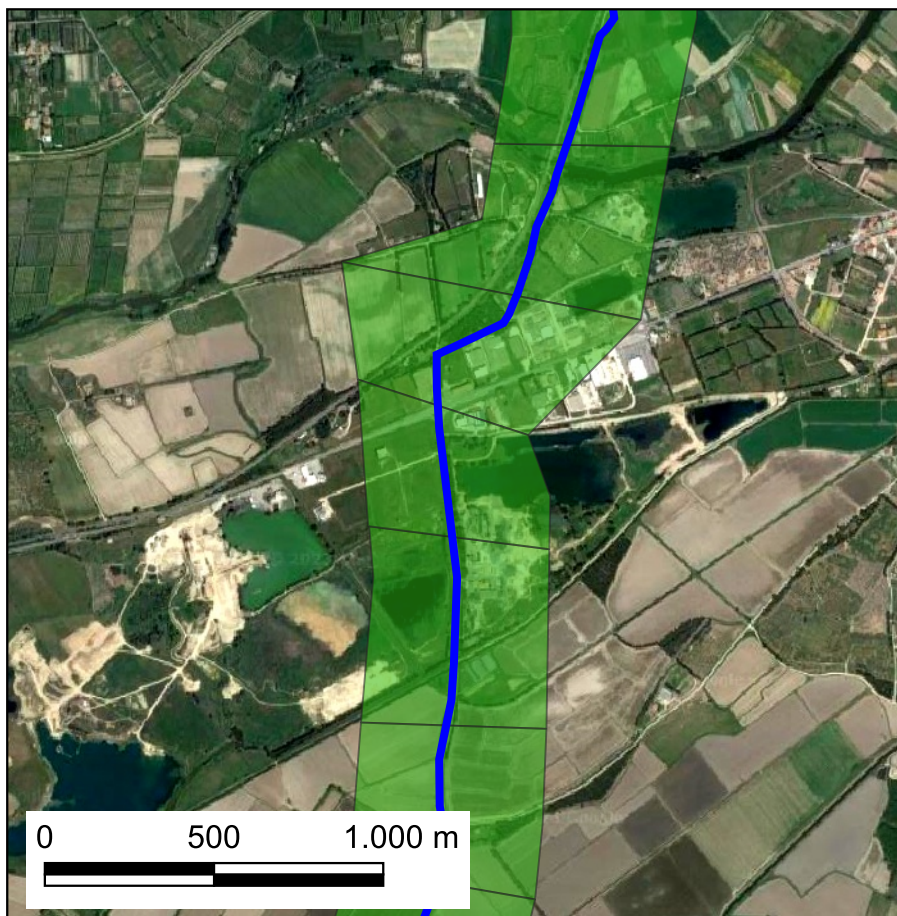
### Visibilità del suolo: 5

**Copertura del suolo:** superficie agricola utilizzata - Questa riguarda il tratto che si lascia alle spalle la Zona industriale di Simaxis e diversi campi destinati ad erbaio e pascolo ed altre aree su cui insistono costruzioni ad uso artigianale, abitativo ed agricolo. L'analisi delle immagini satellitari e la fotointerpretazione non hanno evidenziato alcuna anomalia riconducibile ad emergenze di tipo archeologico. Il sopralluogo archeologico ha dato conferma dell'assenza in superficie di emergenze archeologiche e di testimonianze di cultura matera.

**Sintesi geomorfologica:** Depositi alluvionali terrazzati a matrice Ghiaioso-sabbiosa e sabbioso-limose. Il grado di addensamento di questi depositi è medio nei primi 0.5 metri, più elevato in profondità.

**Dati catastali:** F. CTR - part. 528-050 - COORDINATE UTM 39.92355, 8.66900 - La UR 12 è stata individuata dal crocevia con la strada provinciale 15, la strada statale 388 e l'imbocco della strada provinciale 67 e lungo quest'ultima, tra il km 5,732 e il km 6,232 del percorso della linea di connessione che in questo tratto si lascia alle spalle la Zona industriale di Simaxis.

La UR 12 è stata individuata dal crocevia con la strada provinciale 15, la strada statale 388 e l'imbocco della strada provinciale 67 e lungo quest'ultima, tra il km 5,732 e il km 6,232 del percorso della linea di connessione che in questo tratto si lascia alle spalle la Zona industriale di Simaxis.



UR 12



# Ricognizione c05948cb2e6a4b80a36fd0eb1ff526f9

## Unità di ricognizione UR 13 - Data 2021/11/05

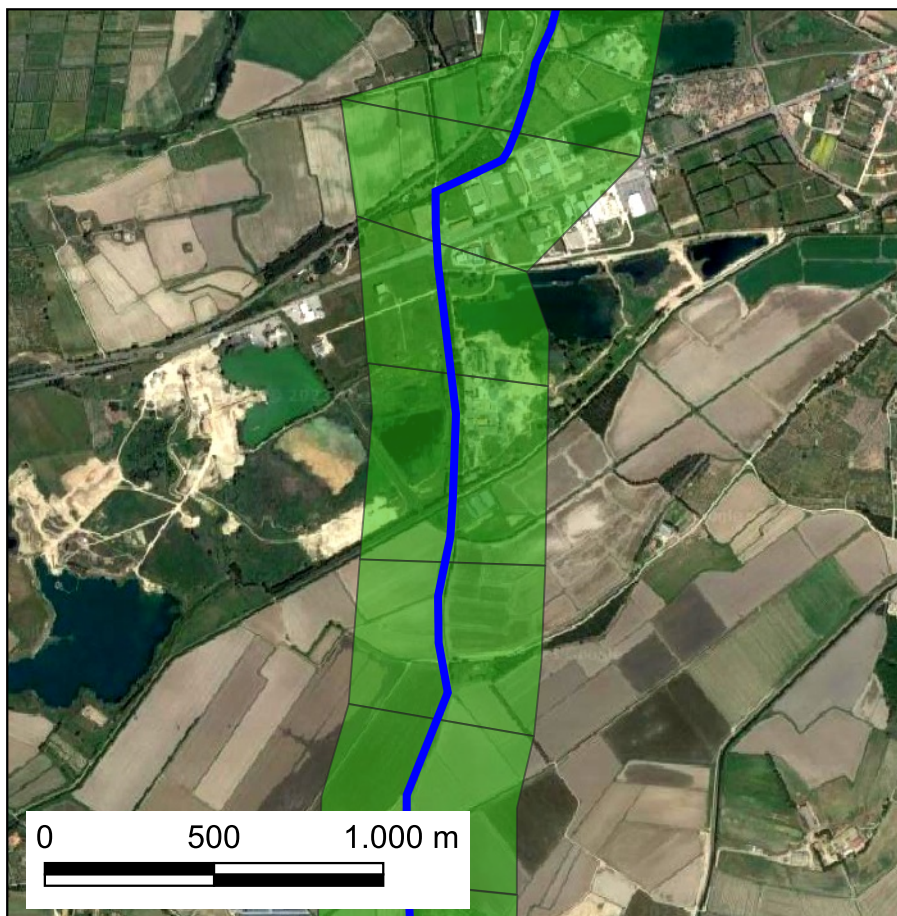
**Visibilità del suolo: 5**

**Copertura del suolo:** superficie agricola utilizzata - Questa riguarda diversi campi destinati ad erbaio e pascolo ed altre aree su cui insistono una costruzione artigianale ed altre costruzioni ad uso abitativo ed agricolo. L'analisi delle immagini satellitari e la fotointerpretazione non hanno evidenziato alcuna anomalia riconducibile ad emergenze di tipo archeologico. Il sopralluogo archeologico ha dato conferma dell'assenza in superficie di emergenze archeologiche e di testimonianze di cultura materiale antica.

**Sintesi geomorfologica:** Depositi alluvionali terrazzati a matrice Ghiaioso-sabbiosa e sabbioso-limose. Il grado di addensamento di questi depositi è medio nei primi 0.5 metri, più elevato in profondità.

**Dati catastali:** F. CTR - part. 528-050 - COORDINATE UTM 39.92094, 8.66890 - La UR 13 è stata individuata tra il km 6,232 e il km 6,732 del percorso della linea di connessione, lungo la strada provinciale 67.

La UR 13 è stata individuata tra il km 6,232 e il km 6,732 del percorso della linea di connessione, lungo la strada provinciale 67.



UR 13



# Ricognizione c05948cb2e6a4b80a36fd0eb1ff526f9

## Unità di ricognizione UR 14 - Data 2021/11/05

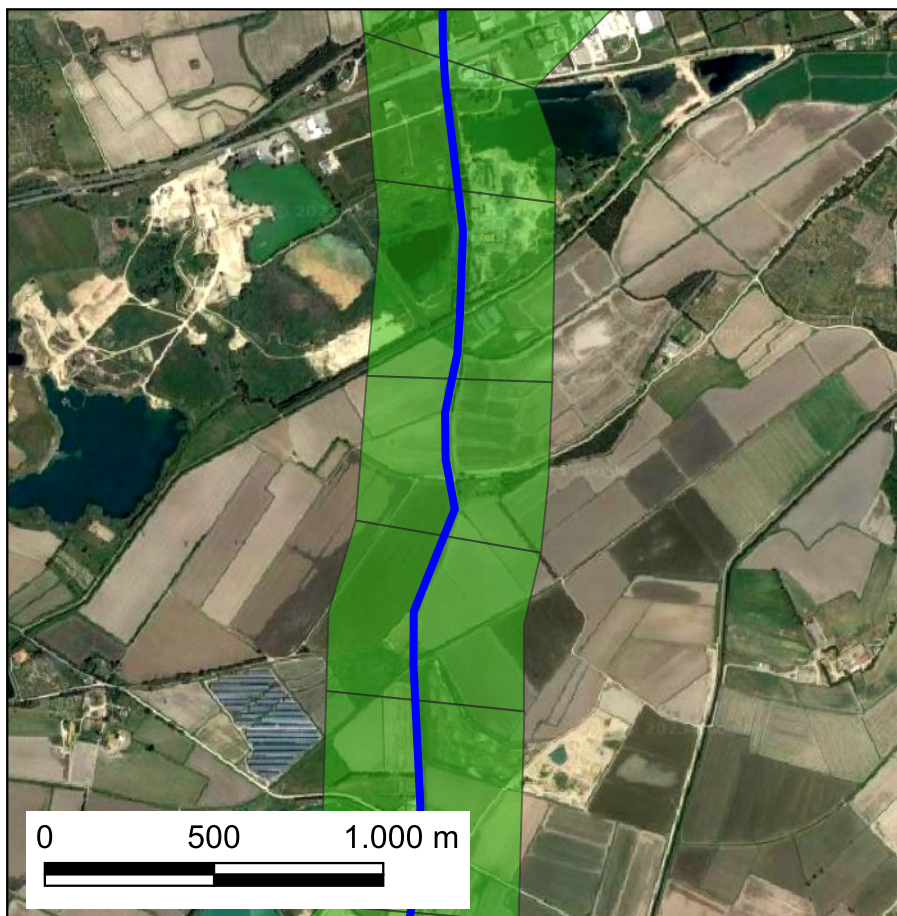
**Visibilità del suolo:** 5

**Copertura del suolo:** superficie agricola utilizzata - Questa riguarda diversi campi destinati ad erbaio e pascolo ed altre aree su cui insistono costruzioni ad uso abitativo ed agricolo. L'analisi delle immagini satellitari e la fotointerpretazione non hanno evidenziato alcuna anomalia riconducibile ad emergenze di tipo archeologico. Il sopralluogo archeologico ha dato conferma dell'assenza in superficie di emergenze archeologiche e di testimonianze di cultura materiale antica.

**Sintesi geomorfologica:** Depositi alluvionali terrazzati a matrice Ghiaioso-sabbiosa e sabbioso-limose. Il grado di addensamento di questi depositi è medio nei primi 0.5 metri, più elevato in profondità.

**Dati catastali:** F. CTR - part. 528-050 - COORDINATE UTM 39.91490, 8.66842 - La UR 14 è stata individuata tra il km 6,732 e il km 7,232 del percorso della linea di connessione, lungo la strada provinciale 67.

La UR 14 è stata individuata tra il km 6,732 e il km 7,232 del percorso della linea di connessione, lungo la strada provinciale 67.



UR 14



# Ricognizione c05948cb2e6a4b80a36fd0eb1ff526f9

## Unità di ricognizione UR 15 - Data 2021/11/05

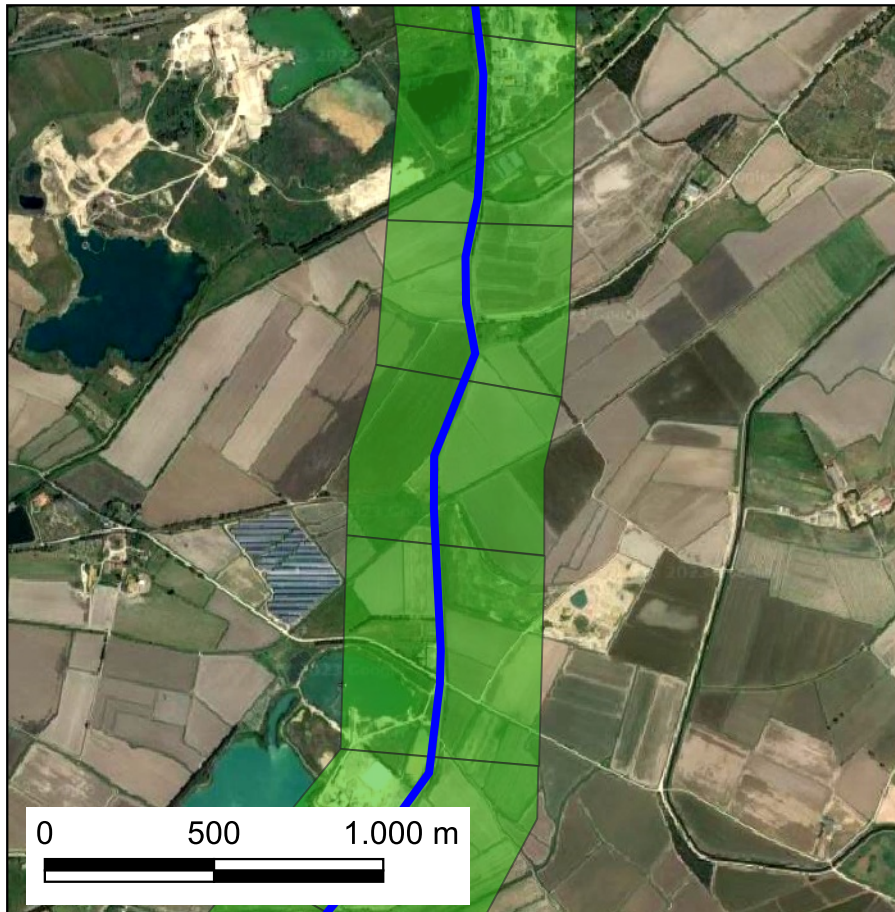
**Visibilità del suolo: 5**

**Copertura del suolo:** superficie agricola utilizzata - Questa riguarda diversi campi destinati ad erbaio e pascolo. L'analisi delle immagini satellitari e la fotointerpretazione non hanno evidenziato alcuna anomalia riconducibile ad emergenze di tipo archeologico. Il sopralluogo archeologico ha dato conferma dell'assenza in superficie di emergenze archeologiche e di testimonianze di cultura materiale antica.

**Sintesi geomorfologica:** Depositi alluvionali terrazzati a matrice Ghiaioso-sabbiosa e sabbioso-limose. Il grado di addensamento di questi depositi è medio nei primi 0.5 metri, più elevato in profondità.

**Dati catastali:** F. CTR - part. 528-050 - COORDINATE UTM 39.91148, 8.66755 - La UR 15 è stata individuata tra il km 7,232 e il km 7,732 del percorso della linea di connessione, lungo la strada provinciale 67.

La UR 15 è stata individuata tra il km 7,232 e il km 7,732 del percorso della linea di connessione, lungo la strada provinciale 67.



**UR 15**





# Ricognizione c05948cb2e6a4b80a36fd0eb1ff526f9

## Unità di ricognizione UR 16 - Data 2021/11/05

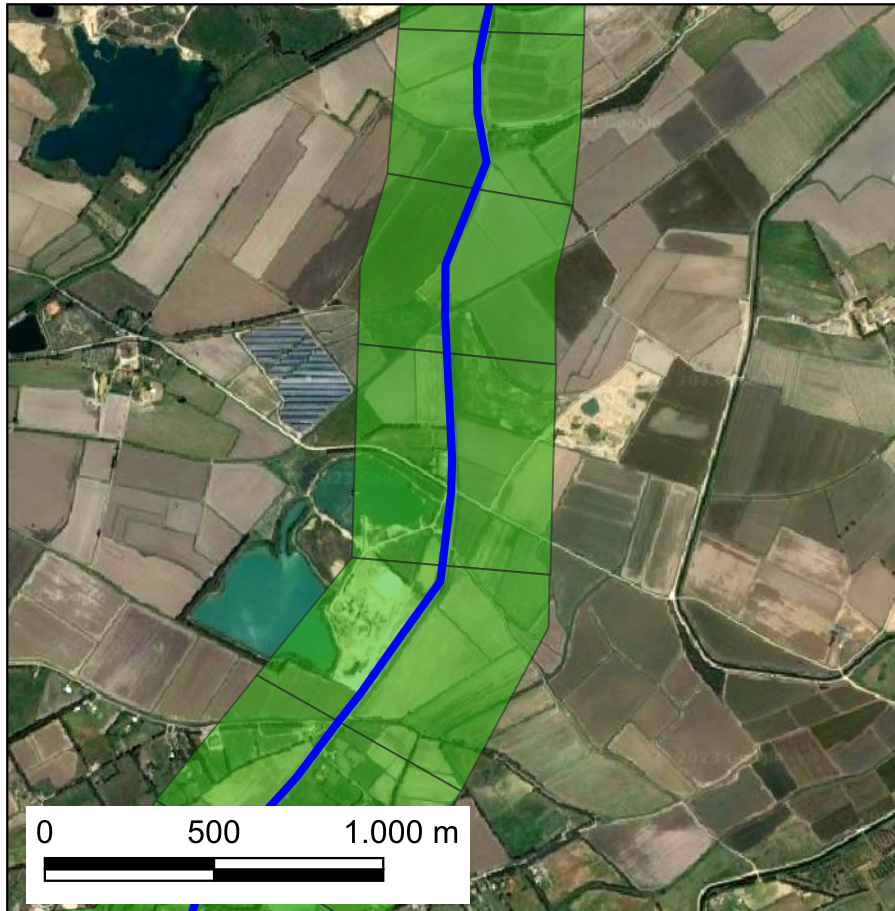
**Visibilità del suolo: 5**

**Copertura del suolo:** superficie agricola utilizzata - Questa riguarda diversi campi destinati ad erbaio e pascolo ed altre aree su cui insistono costruzioni ad uso abitativo ed agricolo. L'analisi delle immagini satellitari e la fotointerpretazione non hanno evidenziato alcuna anomalia riconducibile ad emergenze di tipo archeologico. Il sopralluogo archeologico ha dato conferma dell'assenza in superficie di emergenze archeologiche e di testimonianze di cultura materiale antica.

**Sintesi geomorfologica:** Depositi alluvionali terrazzati a matrice Ghiaioso-sabbiosa e sabbioso-limose. Il grado di addensamento di questi depositi è medio nei primi 0.5 metri, più elevato in profondità.

**Dati catastali:** F. CTR - part. 528-050 - COORDINATE UTM 39.90693, 8.66781 - La UR 16 è stata individuata tra il km 7,732 e il km 8,232 del percorso della linea di connessione, lungo la strada provinciale 67.

La UR 16 è stata individuata tra il km 7,732 e il km 8,232 del percorso della linea di connessione, lungo la strada provinciale 67.



**UR 16**



# Ricognizione c05948cb2e6a4b80a36fd0eb1ff526f9

## Unità di ricognizione UR 17 - Data 2021/11/05

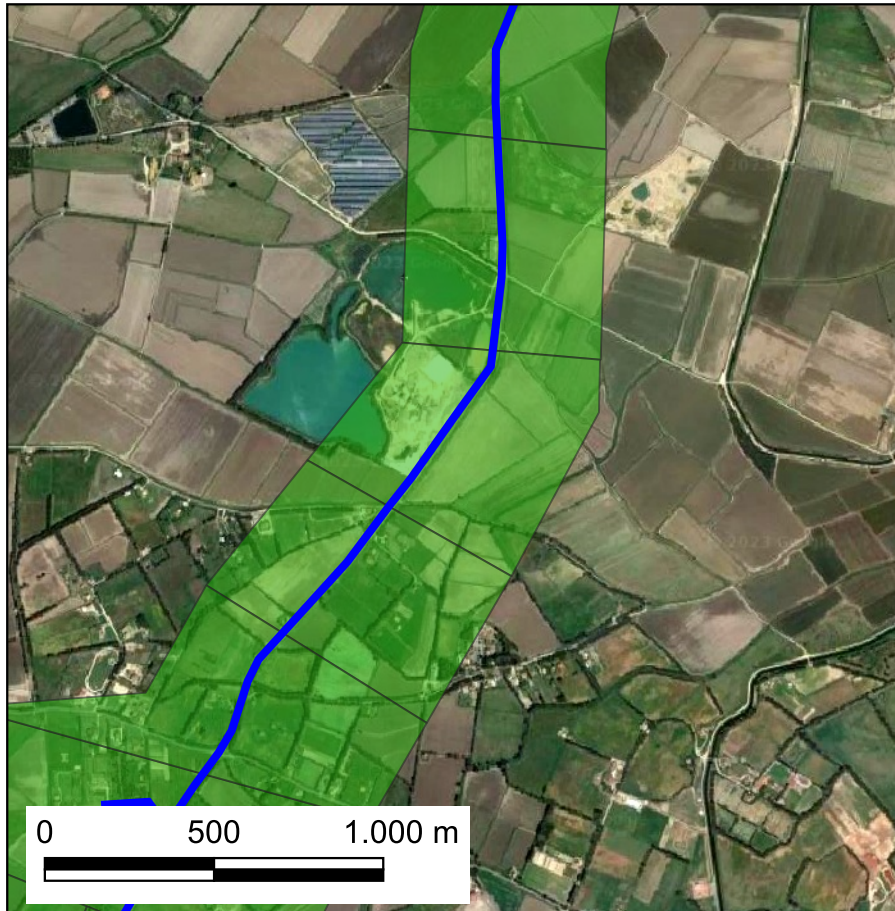
**Visibilità del suolo: 5**

**Copertura del suolo:** superficie agricola utilizzata - Questa riguarda diversi campi destinati ad erbaio e pascolo ed altre aree su cui insistono uno stabilimento artigianale e costruzioni ad uso abitativo ed agricolo. L'analisi delle immagini satellitari e la fotointerpretazione non hanno evidenziato alcuna anomalia riconducibile ad emergenze di tipo archeologico. Il sopralluogo archeologico ha dato conferma dell'assenza in superficie di emergenze archeologiche e di testimonianze di cultura materiale antica.

**Sintesi geomorfologica:** Depositi alluvionali terrazzati a matrice Ghiaioso-sabbiosa e sabbioso-limose. Il grado di addensamento di questi depositi è medio nei primi 0.5 metri, più elevato in profondità.

**Dati catastali:** F. CTR - part. 528-050, 528-080 - COORDINATE UTM 39.90245, 8.66665 - La UR 17 è stata individuata tra il km 8,232 e il km 8,732 del percorso della linea di connessione, lungo la strada provinciale 67.

La UR 17 è stata individuata tra il km 8,232 e il km 8,732 del percorso della linea di connessione, lungo la strada provinciale 67.



UR 17



# Ricognizione c05948cb2e6a4b80a36fd0eb1ff526f9

## Unità di ricognizione UR 18 - Data 2021/11/05

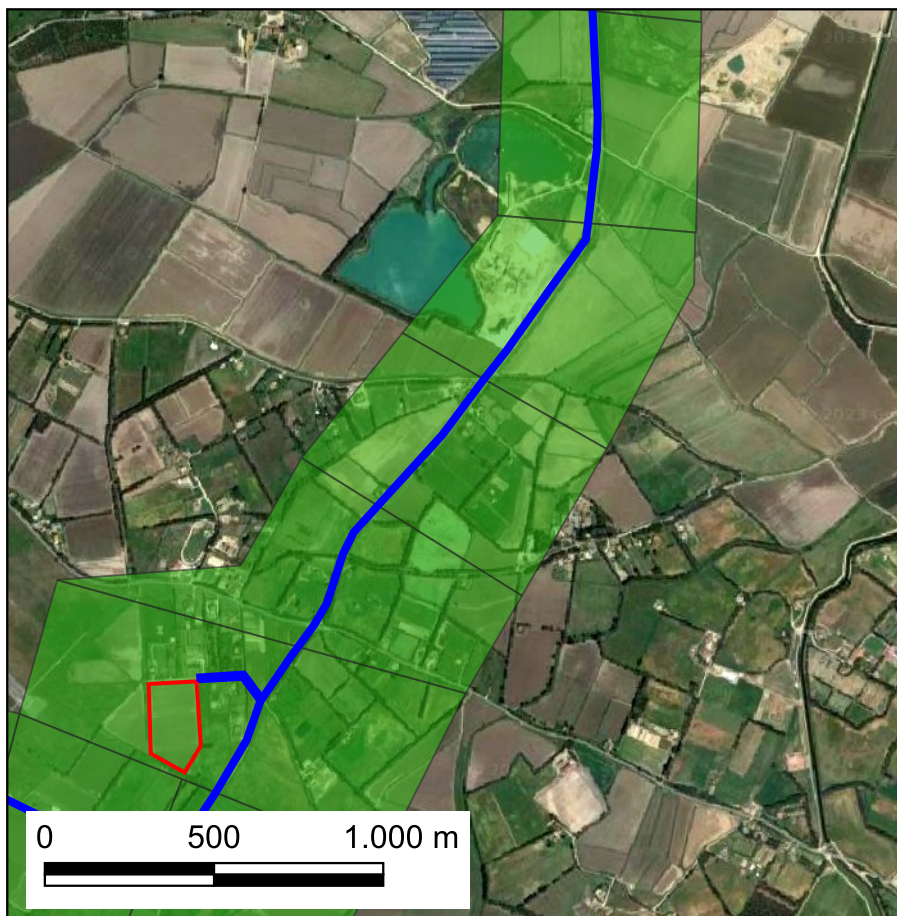
**Visibilità del suolo: 5**

**Copertura del suolo:** superficie agricola utilizzata - Questa riguarda diversi campi destinati ad erbaio e pascolo ed altre aree su cui insistono diverse costruzioni ad uso abitativo ed agricolo. L'analisi delle immagini satellitari e la fotointerpretazione non hanno evidenziato alcuna anomalia riconducibile ad emergenze di tipo archeologico. Il sopralluogo archeologico ha dato conferma dell'assenza in superficie di emergenze archeologiche e di testimonianze di cultura materiale antica.

**Sintesi geomorfologica:** Depositi alluvionali terrazzati a matrice Ghiaioso-sabbiosa e sabbioso-limose. Il grado di addensamento di questi depositi è medio nei primi 0.5 metri, più elevato in profondità.

**Dati catastali:** F. CTR - part. 528-080, 528-120 - COORDINATE UTM 39.89789, 8.66253 - La UR 18 è stata individuata tra il km 8,732 e il km 9,232 del percorso della linea di connessione, lungo la strada provinciale 67.

La UR 18 è stata individuata tra il km 8,732 e il km 9,232 del percorso della linea di connessione, lungo la strada provinciale 67.



UR 18



# Ricognizione c05948cb2e6a4b80a36fd0eb1ff526f9

## Unità di ricognizione UR 19 - Data 2021/11/05

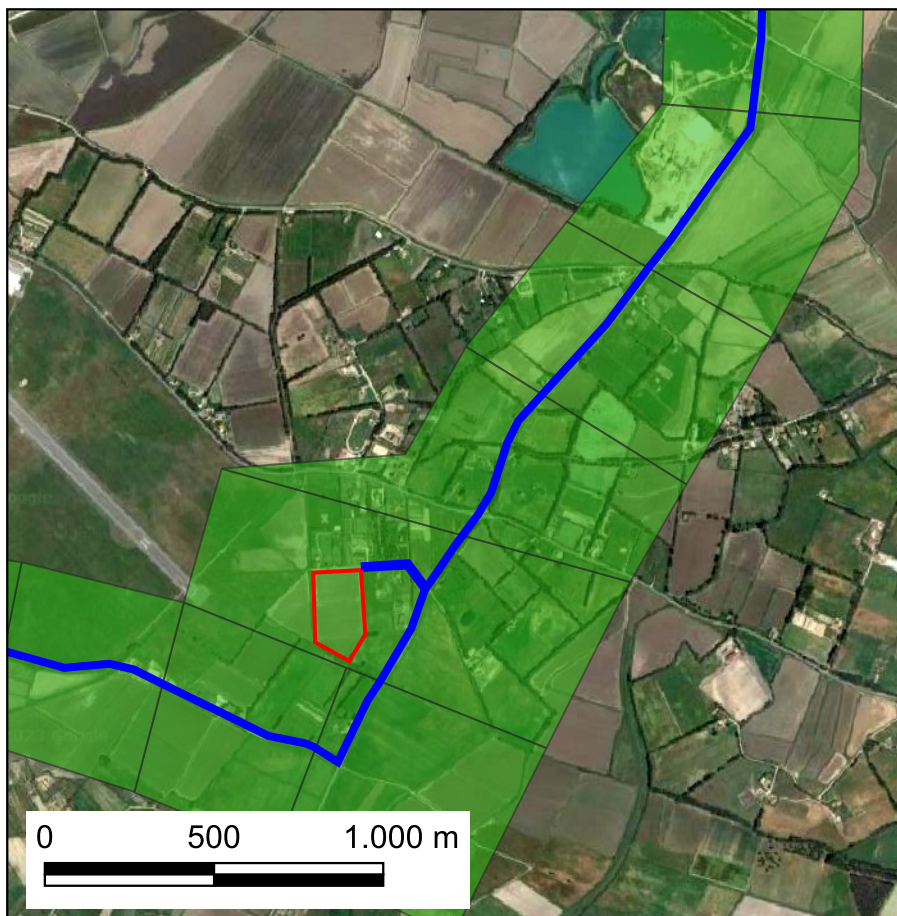
**Visibilità del suolo: 5**

**Copertura del suolo:** superficie agricola utilizzata - Questa riguarda diversi campi destinati ad erbaio e pascolo ed altre aree su cui insistono costruzioni ad uso abitativo ed agricolo. L'analisi delle immagini satellitari e la fotointerpretazione non hanno evidenziato alcuna anomalia riconducibile ad emergenze di tipo archeologico. Il sopralluogo archeologico ha dato conferma dell'assenza in superficie di emergenze archeologiche e di testimonianze di cultura materiale antica.

**Sintesi geomorfologica:** Depositi alluvionali terrazzati a matrice Ghiaioso-sabbiosa e sabbioso-limose. Il grado di addensamento di questi depositi è medio nei primi 0.5 metri, più elevato in profondità.

**Dati catastali:** F. CTR - part. 528-120 - COORDINATE UTM 39.89489, 8.65903 - La UR 19 è stata individuata tra il km 9,232 e il km 9,733 del percorso della linea di connessione, lungo la strada provinciale 67 che si conclude al crocevia con la strada provinciale 57 e l'imbocco della strada provinciale 53.

La UR 19 è stata individuata tra il km 9,232 e il km 9,733 del percorso della linea di connessione, lungo la strada provinciale 67 che si conclude al crocevia con la strada provinciale 57 e l'imbocco della strada provinciale 53.



**UR 19**



# Ricognizione c05948cb2e6a4b80a36fd0eb1ff526f9

## Unità di ricognizione UR 20 - Data 2021/11/05

Visibilità del suolo: 5

**Copertura del suolo:** superficie agricola utilizzata - Questa riguarda diversi campi destinati ad erbaio e pascolo ed altre aree su cui insistono costruzioni ad uso abitativo ed agricolo. L'analisi delle immagini satellitari e la fotointerpretazione non hanno evidenziato alcuna anomalia riconducibile ad emergenze di tipo archeologico. Il sopralluogo archeologico ha dato conferma dell'assenza in superficie di emergenze archeologiche e di testimonianze di cultura materiale antica.

**Sintesi geomorfologica:** Depositi alluvionali terrazzati a matrice Ghiaioso-sabbiosa e sabbioso-limose. Il grado di addensamento di questi depositi è medio nei primi 0.5 metri, più elevato in profondità.

**Dati catastali:** F. CTR - part. 528-120 - COORDINATE UTM 39.89114, 8.65641 - La UR 20 è stata individuata dal crocevia con la strada provinciale 67, la strada provinciale 57e l'imbocco della strada provinciale 53, e lungo quest'ultima, tra il km 9,733 e il km 10,233 del percorso della linea di connessione.

La UR 20 è stata individuata dal crocevia con la strada provinciale 67, la strada provinciale 57e l'imbocco della strada provinciale 53, e lungo quest'ultima, tra il km 9,733 e il km 10,233 del percorso della linea di connessione.



UR 20



# Ricognizione c05948cb2e6a4b80a36fd0eb1ff526f9

## Unità di ricognizione UR 21 - Data 2021/11/05

**Visibilità del suolo:** 5

**Copertura del suolo:** superficie agricola utilizzata - Questa riguarda diversi campi destinati ad erbaio e pascolo ed altre aree su cui insistono costruzioni ad uso abitativo ed agricolo. L'analisi delle immagini satellitari e la fotointerpretazione non hanno evidenziato alcuna anomalia riconducibile ad emergenze di tipo archeologico. Il sopralluogo archeologico ha dato conferma dell'assenza in superficie di emergenze archeologiche e di testimonianze di cultura materiale antica.

**Sintesi geomorfologica:** Depositi alluvionali terrazzati a matrice Ghiaioso-sabbiosa e sabbioso-limose. Il grado di addensamento di questi depositi è medio nei primi 0.5 metri, più elevato in profondità.

**Dati catastali:** F. CTR - part. 528-120 - COORDINATE UTM 39.88790, 8.65407 - La UR 21 è stata individuata tra il km 10,233 e il km 10,580 del percorso della linea di connessione, lungo la strada provinciale 53 fino all'altezza dell'incrocio con la strada che costeggia l'area aeroportuale di Fenosu che conduce alla Sottostazione di Terna.

La UR 21 è stata individuata tra il km 10,233 e il km 10,580 del percorso della linea di connessione, lungo la strada provinciale 53 fino all'altezza dell'incrocio con la strada che costeggia l'area aeroportuale di Fenosu che conduce alla Sottostazione di Terna.



UR 21



# Ricognizione c05948cb2e6a4b80a36fd0eb1ff526f9

## Unità di ricognizione UR 22 - Data 2021/11/05

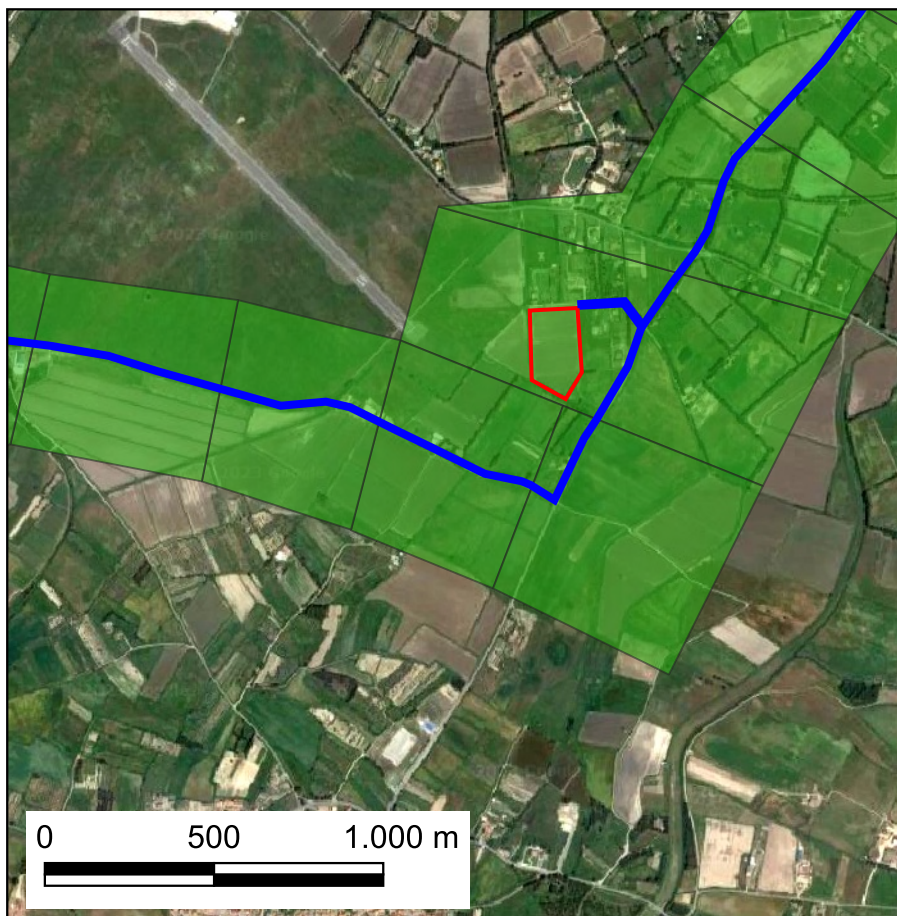
**Visibilità del suolo: 5**

**Copertura del suolo:** superficie agricola utilizzata - Questa riguarda diversi campi destinati ad erbaio e pascolo ed altre aree su cui insistono costruzioni ad uso abitativo ed agricolo. L'analisi delle immagini satellitari e la fotointerpretazione non hanno evidenziato alcuna anomalia riconducibile ad emergenze di tipo archeologico. Il sopralluogo archeologico ha dato conferma dell'assenza in superficie di emergenze archeologiche e di testimonianze di cultura materiale antica.

**Sintesi geomorfologica:** Depositi alluvionali terrazzati a matrice Ghiaioso-sabbiosa e sabbioso-limose. Il grado di addensamento di questi depositi è medio nei primi 0.5 metri, più elevato in profondità.

**Dati catastali:** F. CTR - part. 528-120 - COORDINATE UTM 39.88726, 8.64999 - La UR 22 è stata individuata tra il km 10,580 e il km 11,080 del percorso della linea di connessione, lungo la strada che incrocia la strada provinciale 53 e costeggia l'area aeroportuale di Fenusu che conduce alla Sottostazione di Terna.

La UR 22 è stata individuata tra il km 10,580 e il km 11,080 del percorso della linea di connessione, lungo la strada che incrocia la strada provinciale 53 e costeggia l'area aeroportuale di Fenusu che conduce alla Sottostazione di Terna.



UR 22



# Ricognizione c05948cb2e6a4b80a36fd0eb1ff526f9

## Unità di ricognizione UR 23 - Data 2021/11/05

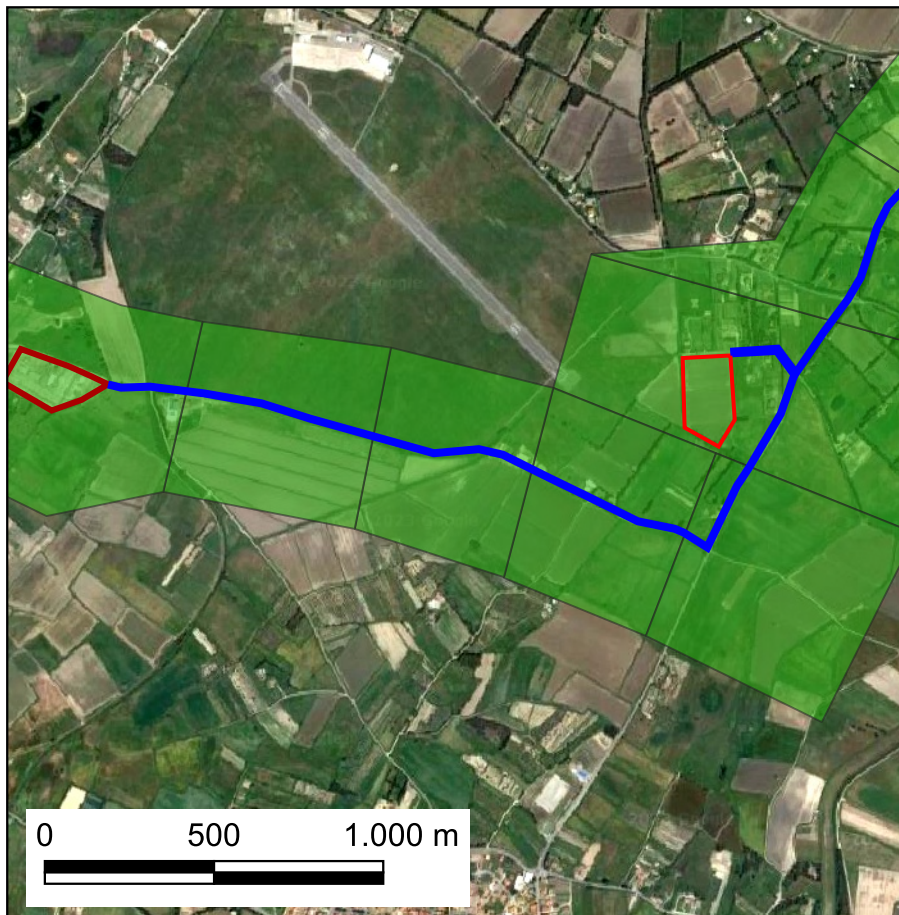
**Visibilità del suolo:** 5

**Copertura del suolo:** superficie agricola utilizzata - Questa riguarda diversi campi destinati ad erbaio e pascolo ed altre aree su cui insistono costruzioni ad uso abitativo ed agricolo. L'analisi delle immagini satellitari e la fotointerpretazione non hanno evidenziato alcuna anomalia riconducibile ad emergenze di tipo archeologico. Il sopralluogo archeologico ha dato conferma dell'assenza in superficie di emergenze archeologiche e di testimonianze di cultura materiale antica.

**Sintesi geomorfologica:** Depositi alluvionali terrazzati a matrice Ghiaioso-sabbiosa e sabbioso-limose. Il grado di addensamento di questi depositi è medio nei primi 0.5 metri, più elevato in profondità.

**Dati catastali:** F. CTR - part. 528-120 - COORDINATE UTM 39.88902, 8.64503 - La UR 23 è stata individuata tra il km 11,080 e il km 11,580 del percorso della linea di connessione, lungo la strada che costeggia l'area aeroportuale di Fenosu e che conduce alla Sottostazione di Terna.

La UR 23 è stata individuata tra il km 11,080 e il km 11,580 del percorso della linea di connessione, lungo la strada che costeggia l'area aeroportuale di Fenosu e che conduce alla Sottostazione di Terna.



UR 23





# Ricognizione c05948cb2e6a4b80a36fd0eb1ff526f9

## Unità di ricognizione UR 24 - Data 2021/11/05

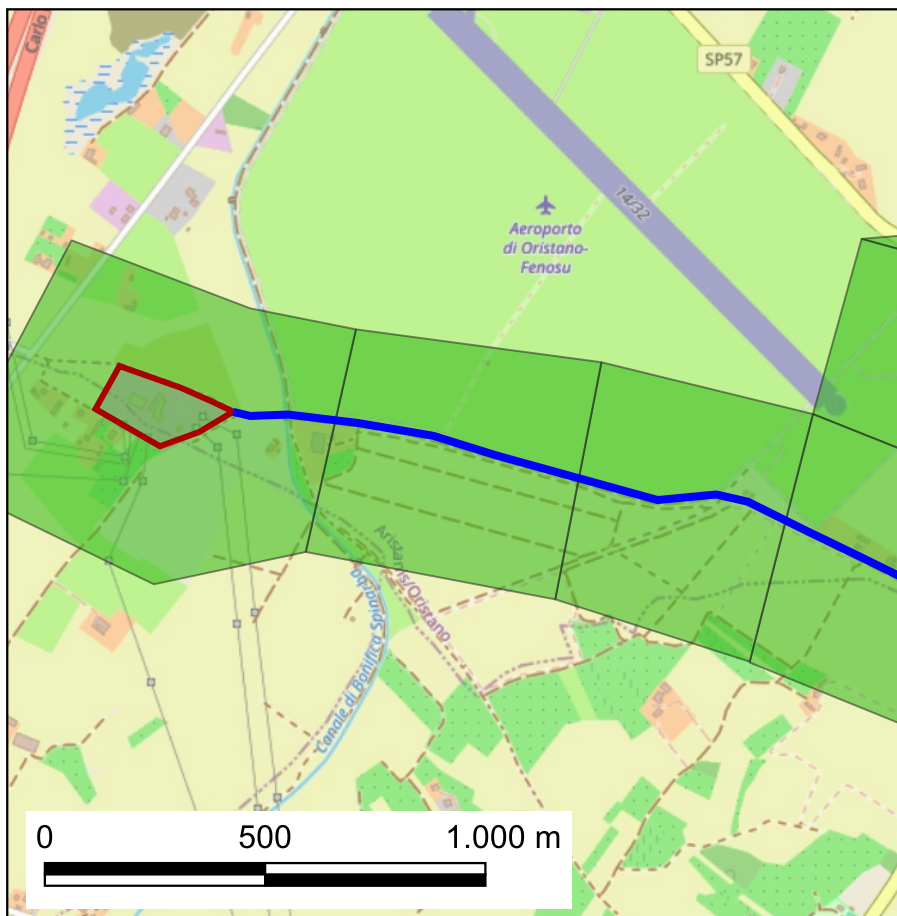
**Visibilità del suolo: 5**

**Copertura del suolo:** superficie agricola utilizzata - Questa riguarda diversi campi destinati ad erbaio e pascolo ed altre aree su cui insistono costruzioni ad uso abitativo ed agricolo. L'analisi delle immagini satellitari e la fotointerpretazione non hanno evidenziato alcuna anomalia riconducibile ad emergenze di tipo archeologico. Il sopralluogo archeologico ha dato conferma dell'assenza in superficie di emergenze archeologiche e di testimonianze di cultura materiale antica.

**Sintesi geomorfologica:** Depositi alluvionali terrazzati a matrice Ghiaioso-sabbiosa e sabbioso-limose. Il grado di addensamento di questi depositi è medio nei primi 0.5 metri, più elevato in profondità.

**Dati catastali:** F. CTR - part. 528-120 - COORDINATE UTM 39.88974, 8.63905 - La UR 24 è stata individuata tra il km 11,580 e il km 12,080 del percorso della linea di connessione, lungo la strada che fiancheggia l'area aeroportuale di Fenosu e che conduce alla Sottostazione di Terna.

La UR 24 è stata individuata tra il km 11,580 e il km 12,080 del percorso della linea di connessione, lungo la strada che fiancheggia l'area aeroportuale di Fenosu e che conduce alla Sottostazione di Terna.



**UR 24**



# Ricognizione c05948cb2e6a4b80a36fd0eb1ff526f9

## Unità di ricognizione UR 25 - Data 2021/11/05

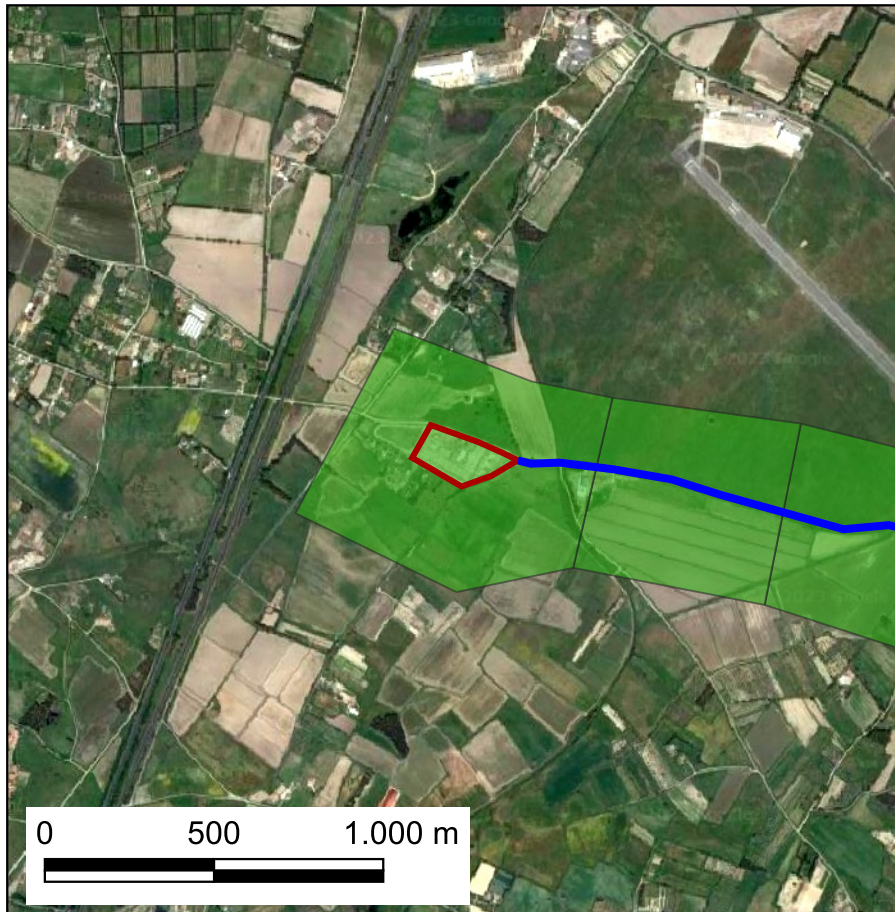
Visibilità del suolo: 3

**Copertura del suolo:** superficie agricola utilizzata - Questa riguarda diversi campi destinati ad erbaio e pascolo ed altre aree su cui insistono costruzioni ad uso abitativo ed agricolo, fra le quali un campo in parte occupato dall'area in cui si trova la sottostazione di Terna. L'analisi delle immagini satellitari e la fotointerpretazione non hanno evidenziato alcuna anomalia riconducibile ad emergenze di tipo archeologico. Il sopralluogo archeologico ha dato conferma dell'assenza in superficie di emergenze archeologiche e di testimonianze di cui.

**Sintesi geomorfologica:** Depositi alluvionali terrazzati a matrice Ghiaioso-sabbiosa e sabbioso-limose. Il grado di addensamento di questi depositi è medio nei primi 0.5 metri, più elevato in profondità.

**Dati catastali:** F. CTR - part. 528-120 - COORDINATE UTM 39.89146, 8.63459 - La UR 25 è stata individuata tra il km 12,080 e il km 12,480 del percorso della linea di connessione, lungo la strada che fiancheggia l'area aeroportuale di Fenosu e che conduce alla Sottostazione di Terna, fino ad arrivare al punto di consegna.

La UR 25 è stata individuata tra il km 12,080 e il km 12,480 del percorso della linea di connessione, lungo la strada che fiancheggia l'area aeroportuale di Fenosu e che conduce alla Sottostazione di Terna, fino ad arrivare al punto di consegna.



UR 25

